

(4) $\varepsilon_s < \varepsilon_{sy}$, $\varepsilon'_{s'} > \varepsilon_{sy}$ の場合,

$$k^2 \sigma_0 F + k(\sigma'_{sy} p' + \varepsilon_0 \varepsilon_{rx} E_{sy} p) - \varepsilon_0 \varepsilon_{rx} E_{sy} p = 0 \quad \dots \dots \dots (8)$$

4. 柄强度式

(1) A_s' が降伏前の場合

$$\frac{M}{bd^2} = \sigma_0 k F (1 - o \cdot k) + \varepsilon_0 \varepsilon_{rx}$$

$$\cdot \left(1 - \frac{t}{k}\right) E_{sy} p (1-t) \quad \dots \dots \dots (9)$$

ただし k は A_s が降伏前のときは式(7) 降伏後のは式(5) により求める。

(2) A_s' が降伏後の場合,

$$\frac{M}{bd^2} = \sigma_0 k F (1 - o \cdot k) + \sigma'_{sy} p' (1-t) \quad \dots \dots \dots (10)$$

ただし k は A_s が降伏前のときは式(8), 降伏後のは式(6) により求める。

(3) 単筋筋の場合,

$$\frac{M}{bd^2} = \sigma_0 k F (1 - o \cdot k) \quad \dots \dots \dots (11)$$

ただし k は A_s が降伏前のときは式(12), 降伏後のは式(13) により求める。

$$k^2 \sigma_0 F + k \varepsilon_0 \varepsilon_{rx} E_{sy} p - \varepsilon_0 \varepsilon_{rx} E_{sy} p = 0 \quad \dots \dots \dots (12)$$

$$k = \sigma_{sy} p / \sigma_0 F \quad \dots \dots \dots (13)$$

5. 単筋筋の場合について柄强度を求めるときと例えれば図-3の如くなる。ただし $\sigma_{sy} = 3150 \text{ kg/cm}^2$, $E_{sy} = 2,100,000 \text{ kg/cm}^2$, $\varepsilon_0 = 0.15\%$ とする。

6. 以上の如く塑性理論を採用して得た結果より柄の最も合理的なる設計法及び安全率の問題に言及したい。

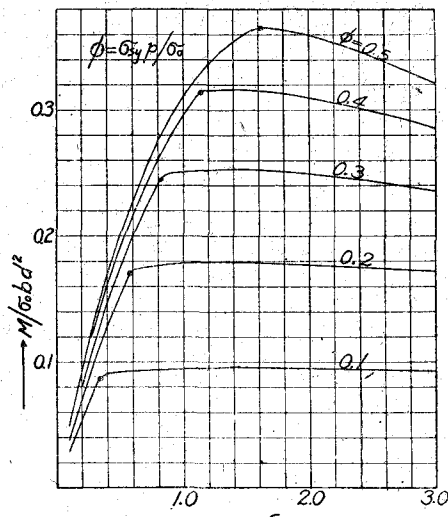


図-3

33. 鉄筋コンクリートはりの破壊に関する実験的研究 (20分)

正員 建設省土木研究所 山田順治

鉄筋コンクリートはりを実際に破壊してみると、その破壊荷重は從来の弾性理論による設計計算破壊荷重よりもるかに大きい。よつて筆者は、一昨年來各種の鉄筋コンクリートはりを製作し、破壊実験を行つて鉄筋コンクリートはりの破壊理論を研究しつつある。本報告はその中間報告であつて、一昨年より昨年にかけて行つた実験結果の一部である。

鉄筋コンクリート供試はりは、幅 16 cm, 高さ 20 cm, 長さ 2 m のもので、次の 9 種の鉄筋を異にしたものである。

型 式	主 鐵 筋 mm	鐵筋断面積 cm ²	有効高さ cm	鐵 筋 比 %
I 型	2-φ 9	1.27	18.05	0.440
II 型	2-φ 9 1-φ 12	2.401	17.90	0.838
III 型	3-φ 12	3.39	17.90	1.184
IV 型	4-φ 12	4.52	17.90	1.578
V 型	3-φ 9 3-φ 12	5.30	16.80	1.971
VI 型	1-φ 9 5-φ 12	6.296	16.40	2.399
VII 型	4-φ 9 4-φ 12	7.06	16.80	2.630
VIII 型	2-φ 12 3-φ 16	8.29	16.80	3.084
IX 型	5-φ 16	10.05	16.20	3.877

使用セメントは日本セメント西多摩工場の普通ポルトランドセメントと、小野田セメント藤原工場の早強セメントとを用い、材齢4週及び13週で各2本ずつ試験するために72本の鉄筋コンクリートはりを製作、破壊試験を行つた。

この試験結果から、考察を行つた2,3の事項について述べるものである。

34. 単筋梁のクリープの近似解 (20分)

正員 京都大學工學部 横尾 義貫

Davis-Glanville および Whitney の法則によりコンクリートのクリープ量は、應力一定の場合

$$\Delta = ds \left[\frac{\sigma_c}{E_c} (1 + \psi - \psi_r) + \frac{S_n}{m} \psi_r \right] \quad (1)$$

應力が一定でない場合は

$$\Delta = ds \left[(1 + \psi_t) - \frac{\sigma_c}{E_c} - \frac{1}{E_c} \int_0^t \psi \frac{d\sigma_c}{d\tau} d\tau + \frac{S_n}{m} \psi_t \right] \quad (2)$$

とかける。ただし ψ_t : クリープ特性、 S_n : 硬化収縮終局値、 m : ψ_t の終局値

いまここに次のような假定をおく。

1. 平面保持.
2. 應力直線分布.
3. モーメント一定. 4 クリープの法則を梁上線部で満足させる.
5. 硬化収縮は無視.

以上の假定をおくことにより、結局次の関係式をえる。

$$d\psi = \left[\frac{1}{2np} \frac{k(3-k)^2}{(1-k)^2(3-k)} + \frac{3-2k}{k(3-k)} \right] dk \quad (3)$$

$$\text{ただし, } k = \frac{x}{d}, \quad p = \frac{A_s}{bd}, \quad n = \frac{E_s}{E_c}$$

これを積分して

$$\begin{aligned} \psi = C + & \left[\frac{1}{2np} \left\{ k + \frac{9}{2} \log(3-k) + \frac{1}{2} \log(1-k) + \frac{1}{1-k} \right\} \right. \\ & \left. + \log k + \log(3-k) \right] = C + f(k) \end{aligned} \quad (4)$$

$$t=0 \text{ より載荷した場合; } t=0, \psi=0, k=k_0; \psi=f(k)-f(k_0) \quad (5)$$

$$t=\tau \text{ にて載荷した場合; } t=\tau, \psi=\psi_\tau, k=k_0; \psi=f(k)-f(k_0)+\psi_\tau \quad (6)$$

(5), (6) により (4) の積分常数 C が定められ、 k と ψ との関係がわかる。いま

$$\psi = \frac{t}{1.46+0.24t} \quad \text{ただし } t \text{ in week, } E_s = 215 \cdot 10^4 \text{ kg/cm}^2, E_c = 23.3 \cdot 10^4 \text{ kg/cm}^2,$$

$$n=9.22, \quad p=0.01, \quad \frac{M}{bd^2}=4.61 \text{ kg/cm}^2$$

とすれば k は $\psi=0 \sim 4.0$ に對して次表第2列目の値のごとくなる。第3列、第4列はコンクリート上線應力度 σ_u 、鉄筋應力度 σ_s をしめす。() 内の數字は坂教授による同上の場合に對する近似計算値である。

1	t 週 ψ	0 0	0.85 0.5	1.92 1.0	3.42 1.5	5.61 2.0	15.6 3.0	146 4.0
2	k	0.347 (0.347)	0.406 (0.406)	0.458 (0.451)	0.498 (0.487)	0.534 (0.517)	0.587 (0.566)	0.627 (0.604)
3	$\sigma_s: M/bd^2$	113.0 (113.0)	115.6 (115.6)	118.0 (117.6)	120.0 (119.3)	121.7 (120.8)	124.3 (123.1)	126.4 (125.2)
4	$\sigma_{eu}: M/bd^2$	6.51 (6.51)	5.70 (5.71)	5.15 (5.23)	4.80 (4.89)	4.56 (4.69)	4.24 (4.37)	4.03 (4.14)

この解は應力の直線分布を假定したので簡単な解がえられたのであるが、實際には應力は直線分布をしない。いま應力が直線分布をするものとした上の算例について $y=0, y=0.2, y=0.4$ における $\psi=4$ のときの歪 ε を計算してみると